

(285) $\text{CaO}-\text{CaF}_2-\text{CaCl}_2$, $\text{CaO}-(\text{MgO}, \text{SrO}, \text{BaO})-\text{CaCl}_2$ 系溶融フランクスの炭酸ガス溶解度

東京大学 生研

○前田正史 池田 賢

二宮光司

緒言 $\text{CaO}-\text{CaCl}_2$ 系への炭酸ガス溶解度が測定され、塩基度の尺度となることが示された(1)。本研究では、今回は、この二元系を基に、塩基性酸化物などの添加物による影響を調べるために、 $\text{CaO}-\text{CaCl}_2-\text{CaF}_2$ 系、 $\text{BaO}-\text{CaO}-\text{CaCl}_2$ 系、 $\text{SrO}-\text{CaO}-\text{CaCl}_2$ 系、 $\text{MgO}-\text{CaO}-\text{CaCl}_2$ 系の炭酸ガス溶解度を測定した。

実験方法 試料約8gをNiポートに入れ、SiC抵抗炉内で $\text{Ar}-\text{CO}-\text{CO}_2$ ($\text{PCO}_2=0.2$)混合ガスと平衡させた。次に、 $\text{Ar}-\text{CO}$ 混合ガス中で CO_2 を放出させ、重量変化を記録した。数回この操作を繰り返し、その結果より炭酸ガスの溶解度を求めた。実験温度は 900~1050°C、 $\text{PCO}_2=0.2$ で測定した。

結果

Fig.1に $\text{XCaO}=0.12$ 一定で、 CaCl_2 を CaF_2 で置換した場合の炭酸ガス溶解度の組成依存性と温度依存性を示した。 CaF_2 が増加する程溶解度は増加し、また温度が高くなる程溶解度は、減少していることがわかる。

次に、 CaCl_2 は一定($\text{XCaCl}_2=0.88$, $\text{XCaO}+\text{XMgO}=0.12$)とし、 CaO を他のアルカリ土類金属酸化物で置換した場合について調査した。Fig.2に、 $\text{BaO}-\text{CaO}-\text{CaCl}_2$ 系、 $\text{SrO}-\text{CaO}-\text{CaCl}_2$ 系、 $\text{MgO}-\text{CaO}-\text{CaCl}_2$ 系の炭酸ガス溶解度の組成依存性を示した。 $\text{XBaO}=0.03$ までは、溶解度がわずかに減少しているが、それ以上 BaO を増加させても変化はほとんどない。 SrO の場合も、 BaO と同様の結果を得た。 MgO の場合は、前の二つの系に比べて著しく低い値を示した。炭酸ガスの溶解に対しては、 BaO, SrO はともに、 CaO と等価であるが、 MgO の添加は大きく溶解度を低下させた。

結言

温度依存性から求められた $\text{CaO}-\text{CaCl}_2-\text{CaF}_2$ 系フランクスの炭酸ガスの溶解に伴うエンタルピー変化は -15~-20 kcal/mol 程度であった。

$\text{MgO}-\text{CaO}-\text{CaCl}_2$ 系のカーボネイトキャパシティーは、 $\text{BaO}-\text{CaO}-\text{CaCl}_2$ 系、 $\text{SrO}-\text{CaO}-\text{CaCl}_2$ 系に比べて低い値を示した。

文献 (1)前田正史、A. McLean; 鉄と鋼、71(1985),

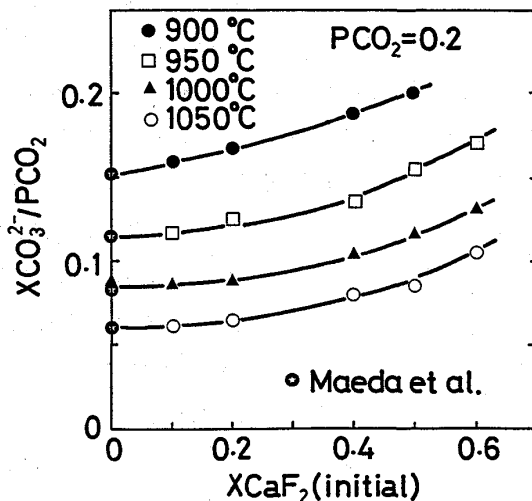


Fig.1. Effects of the replacement of CaCl_2 by CaF_2 on carbonate capacity.

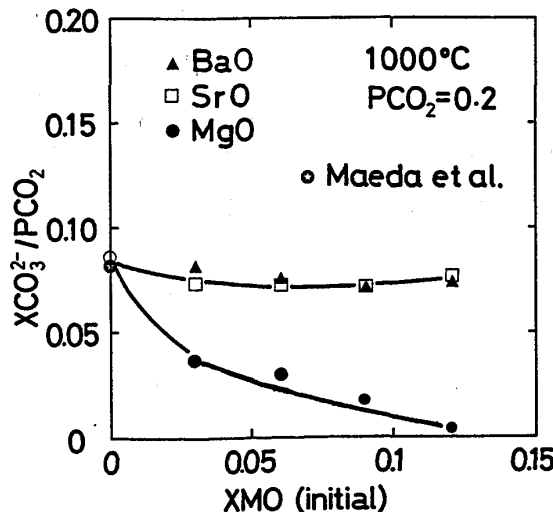


Fig.2. Effects of BaO, SrO and MgO on carbonate capacity. ($\text{XCaO}+\text{XMgO}=0.12$)